

**Protokoll zum Fortgeschrittenenpraktikum I**  
**Elektronische Messtechnik im WS 2006/2007**  
**Frequenzselektive Messungen**

**I Einleitung**

In dieser Versuchsreihe werden verschiedene aktive Filtertypen untersucht und in Hinblick auf ihre Eigenschaften zur Entwicklung von Strategien zur Realisierung optimaler Filterkurven betrachtet.

Des Weiteren werden die Linearität und Selektivität eines phasenempfindlichen Gleichrichters (PEG) untersucht.

**II Theoretische Grundlagen****Aktive Filter****Tiefpass**

Für den in der ersten Versuchsreihe „RC-Glieder“ bereits kennen gelernten Tiefpass ergab sich für das Verhältnis zwischen Aus- und Eingangsspannung der Frequenzgang

$$A(j\omega) = \frac{U_a}{U_e} = \frac{1}{1 + j\omega RC}.$$

Setzt man nun für  $j\omega$  die Abkürzung  $p = j\omega + \sigma$  ein, so erhält man die Übertragungsfunktion

$$A(p) = \frac{L(U_a(t))}{L(U_e(t))} = \frac{1}{1 + pRC},$$

die das Verhältnis der Laplacetransformierten zwischen Aus- und Eingangsspannung für zeitlich beliebig abhängige Signale angibt.

Für die Normierung  $P = \frac{p}{\omega_g}$  und  $\sigma = 0$  folgt unmittelbar  $P = \frac{j\omega}{\omega_g} = j \frac{f}{f_g} = j\Omega$ .

Wie bereits bekannt, ist die Grenzfrequenz des passiven Tiefpasses der ersten Versuchsreihe  $f_g = \frac{1}{2\pi RC}$  woraus  $P = pRC$  folgt.

$$\text{Es ist also zusammengefasst } A(P) = \frac{1}{1 + P}. \quad (1)$$

Das Amplitudenverhältnis bei Sinussignalen am Eingang ist beschrieben durch das Betragsquadrat von (1), also  $|A(P)|^2 = |A(j\Omega)|^2 = \frac{1}{1 + \Omega^2}$ .

Für hohe Frequenzen,  $f \gg f_g$  ist demnach  $|A| = \frac{1}{\Omega}$ , was einer Verringerung der Verstärkung um  $20\text{db}$  je Dekade entspricht.

Schaltet man  $n$  Tiefpässe hintereinander in Reihe, so ist

$$A(P) = \frac{1}{(1 + \alpha_1 P)(1 + \alpha_2 P) \dots (1 + \alpha_n P)}, \quad \alpha \in \mathbb{R}^+.$$

Ist wiederum  $f \gg f_g$ , also  $Q \gg 1$ , so ergibt sich eine Verringerung der Verstärkung von  $n \cdot 20\text{db}$  je Dekade.

**Protokoll zum Fortgeschrittenenpraktikum I**

**Elektronische Messtechnik im WS 2006/2007**

Für die Reihenschaltung entkoppelter Tiefpässe gleicher Grenzfrequenz, wird  $\alpha_1 = \alpha_2 = \dots = \alpha = \sqrt[n]{\sqrt{2}-1}$ , was einer kritischen Dämpfung entspricht und die einzelnen Tiefpässe sodann eine um  $\frac{1}{\alpha}$  niedrigere Grenzfrequenz haben als der Gesamtpass.

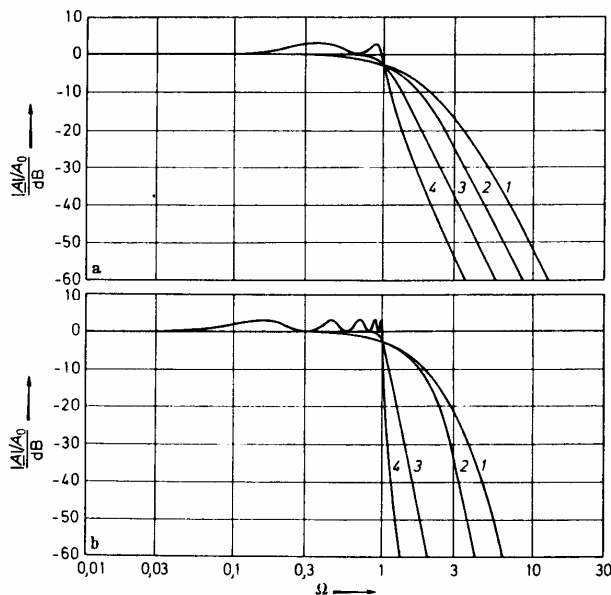
Allgemein schreibt sich die Übertragungsfunktion eines Tiefpasses als  $A(P) = \frac{A_0}{1+c_1P+c_2P^2+\dots+c_nP^n}$  (2), dabei ergibt sich durch eine Zerlegung des Nennerpolynoms in einzelne Faktoren die Form

$$A(P) = \frac{A_0}{(1+a_1P+b_1P^2)(1+a_2P+b_2P^2)\dots} \quad (3)$$

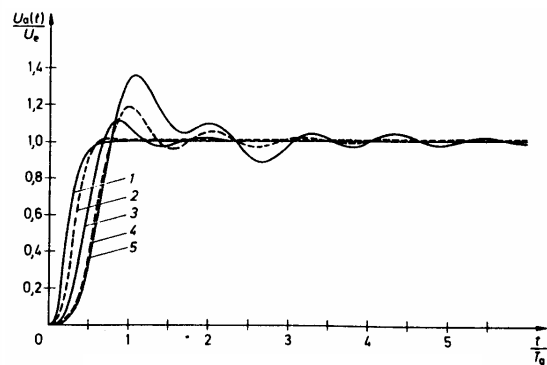
, wobei bei einer ungeraden Ordnungszahl  $b_1 = 0$  ist.

Es sind somit ganz andere Ansätze bei der Optimierung der Frequenzkurve möglich, als beim passiven RC-Glied, da nun konjugiert komplexe Pole entstehen. Die Verwendung von LRC-Gliedern ist im niederfrequenten Bereich schlecht wegen der hohen Induktivitäten realisierbar. Daher verwendet man dort aktive Komponenten, wie z.B. einen OV, die der Schaltung den Namen „aktiver Filter“ geben.

**Vergleich von Butterworth-, Tschebyscheff und Bessel-Tiefpassfilter**



**Abbildung 2: Amplitudenfrequenzgangvergleich vierer Tiefpassfiltertypen, 1: kritische Dämpfung, 2: Bessel-TP, 3: Butterworth-TP, 4: Tschebyscheff-TP (a) TP 4. Ordnung, (b) TP 10. Ordnung**



**Abbildung 1: Sprungantwort vierer Tiefpassfiltertypen, 1: kritische Dämpfung, 2: Bessel-TP, 3: Butterworth-TP, Tschebyscheff-TP mit 4: 0,5db, 5: 3db Welligkeit**

(aus /2/ U.Tietze, Ch. Schenk: „Halbleiterschaltungstechnik“ S.393f)

Anhand von Abbildung 1 und 2 ist ersichtlich, worin die Vor- und Nachteile der jeweils verwendeten Filtertypen liegen:

Beim **Butterworth-TP** verläuft der Amplituden-Frequenzgang lange horizontal, knickt danach scharf bei der Grenzfrequenz der Schaltung ab und beantwortet den Sprung mit einem Überschwingen, welches mit zunehmender Ordnung größer wird.

Der **Tschebyscheff-TP** hingegen hat eine wellige Verstärkung im Durchlassbereich und knickt sehr scharf bei der Grenzfrequenz ab.

**Protokoll zum Fortgeschrittenenpraktikum I**

**Elektronische Messtechnik im WS 2006/2007**

Optimal für Rechteckübertragung eignet sich der **Bessel-TP**, da seine Gruppenlaufzeit über einen großen Frequenzbereich konstant ist, also  $\varphi \sim f$ . Er knickt weicher als die beiden anderen Tiefpässe nahe der Grenzfrequenz ab.

Bei allen ist die Anstiegszeit nahezu unabhängig von der Ordnung des PASSES. Sie besitzt den Wert  $\frac{1}{3f_g}$ . Die Verzögerungszeit nimmt hingegen mit höherer Ordnungszahl zu.

Das Überschwingen eines Bessel-Filters nimmt ab der vierten Ordnung wieder ab.

**Butterworth-Tiefpass**

Die allgemeine Form des Betrages der Verstärkung bei Tiefpässen ist

$$|A|^2 = \frac{A_0^2}{1 + k_2\Omega^2 + k_4\Omega^4 + \dots + k_{2n}\Omega^{2n}} \approx \frac{A_0^2}{1 + k_{2n}\Omega^{2n}} \text{ für einen Butterworth-Tiefpass.}$$

Aus der Normierungsbedingung, dass die Verstärkung für  $\Omega = 1$  um 3dB abgenommen haben soll, ergibt sich:

$$\frac{A_0^2}{2} = \frac{A_0^2}{1 + k_{2n}} \Leftrightarrow k_{2n} = 1.$$

Nimmt man einen Butterworth-TP n-ter Ordnung, so ist also  $|A|^2 = \frac{A_0^2}{1 + \Omega^{2n}}$ .

Gibt man die Pole der Übertragungsfunktion in geschlossener Form an, so ist bei gerader Ordnung n:

$$a_i = 2 \cos\left(\frac{(2i-1)\pi}{2n}\right), \quad i = 1 \dots \frac{n}{2}$$

$$b_i = 1$$

bei ungerader Ordnung n:

$$\begin{matrix} a_1 = 1 & \text{und} & a_i = 2 \cos\left(\frac{(i-1)\pi}{2n}\right), & i = 2 \dots \frac{n+1}{2} \\ b_1 = 0 & & b_i = 1 \end{matrix}$$

**Tschebyscheff-Tiefpass**

Für tiefe Frequenzen ist die Verstärkung des Tschebyscheff-TPs  $A_0$  wobei sie mit einer vorgegebenen Welligkeit schwankt, die durch die Tschebyscheff-Polynome beschrieben werden.

Es ist

$$|A|^2 = \frac{kA_0^2}{1 + \varepsilon^2 T_n^2(x)} \text{ mit } T_n(x) = \begin{cases} \cos(n \arccos x) & , 0 \leq x \leq 1 \\ \cosh(n \operatorname{arcosh} x) & , x > 1 \end{cases}$$

$k$  wird hierbei so gewählt, dass für  $x = 0$  die Bedingung  $|A|^2 = A_0^2$  erfüllt wird, also

$$k = \begin{cases} 1 & , n \text{ ungerade} \\ 1 + \varepsilon^2 & , n \text{ gerade} \end{cases}$$

Der Wert von  $\varepsilon$  bestimmt die Welligkeit; es ist:

**Protokoll zum Fortgeschrittenenpraktikum I**  
**Elektronische Messtechnik im WS 2006/2007**

$$\frac{A_{\max}}{A_{\min}} = \sqrt{1 + \varepsilon^2}$$

$$\left. \begin{aligned} A_{\max} &= A_0 \sqrt{1 + \varepsilon^2} \\ A_{\min} &= A_0 \end{aligned} \right\} n \text{ gerade}$$

$$\left. \begin{aligned} A_{\max} &= A_0 \\ A_{\min} &= \frac{A_0}{\sqrt{1 + \varepsilon^2}} \end{aligned} \right\} n \text{ ungerade}$$

Über die Pole des Butterworth-TPs ergeben sich die Koeffizienten des Tschbyscheff-TPs bei Verwendung von (2) zu:

gerade Ordnung:

$$\left. \begin{aligned} b_i' &= \frac{1}{\cosh^2(\gamma) - \cos^2\left(\frac{(2i-1)\pi}{2n}\right)} \\ a_i' &= 2b_i' \sinh(\gamma) \cos\left(\frac{(2i-1)\pi}{2n}\right) \end{aligned} \right\} \text{für } i = 1 \dots \frac{n}{2}$$

ungerade Ordnung:

$$b_1' = 0$$

$$a_1' = \frac{1}{\sinh(\gamma)}$$

$$\left. \begin{aligned} b_i' &= \frac{1}{\cosh^2(\gamma) - \cos^2\left(\frac{(i-1)\pi}{n}\right)} \\ a_i' &= 2b_i' \sinh(\gamma) \cos\left(\frac{(i-1)\pi}{n}\right) \end{aligned} \right\} \text{für } i = 2 \dots \frac{n+1}{2}$$

, wobei  $\gamma = \frac{1}{n} \operatorname{arsinh}\left(\frac{1}{\varepsilon}\right)$  ist.

Allerdings ist nun noch zum Vergleich der Filtertypen das  $P$  des Tschbyscheff-TP durch  $\alpha P$  so zu normieren, dass durch  $\alpha$  für  $P = j$  die Verstärkung  $\frac{1}{\sqrt{2}}$  beträgt.

**Bessel-Tiefpass**

Ist die Gruppenlaufzeit eines Filters frequenzunabhängig ( $\rightarrow$  frequenzproportionale Phasenverschiebung), so eignet er sich gut für die Übertragung von Rechtecksignalen.

Ein Bessel-Filter hat genau diese Eigenschaft.

Die Gruppenlaufzeit unterhalb der Grenzfrequenz  $\Omega = 1$  sollte demnach möglichst wenig von  $\Omega$  abhängen.

**Protokoll zum Fortgeschrittenenpraktikum I****Elektronische Messtechnik im WS 2006/2007**

Durch die Durchführung einer Butterworth-Approximation für die Gruppenlaufzeit ergibt sich mit  $P = j\Omega$  die Verstärkung

$$A = \frac{A_0}{1 + a_1 P + b_1 P^2} = \frac{A_0}{1 + ja_1 \Omega - b_1 \Omega^2}.$$

Die Phasenverschiebung ist somit

$$\varphi = -\arctan\left(\frac{a_1 \Omega}{1 - b_1 \Omega^2}\right),$$

die Gruppenlaufzeit

$$t_{gr} = -\frac{d\varphi}{d\omega}$$

und die normierte Gruppenlaufzeit

$$T_{gr} = \frac{t_{gr}}{T_g} = t_{gr} f_g = \frac{1}{2\pi} t_{gr} \omega_g.$$

Woraus folgt, dass

$$T_{gr} = -\frac{\omega_g}{2\pi} \frac{d\varphi}{d\omega} = -\frac{1}{2\pi} \frac{d\varphi}{d\Omega} \quad \text{und} \quad T_{gr} = \frac{1}{2\pi} \frac{a_1(1 + b_1 \Omega^2)}{1 + (a_1^2 - 2b_1)\Omega^2 + b_1^2 \Omega^4}.$$

Für die Tatsache  $T_{gr} = \frac{a_1}{2\pi} \frac{1 + b_1 \Omega^2}{1 + (a_1^2 - 2b_1)\Omega^2}$  für  $\Omega \ll 1$  folgt die Bedingung

$$b_1 = \frac{1}{3} a_1^2 \quad \text{aus der Normierungsbedingung} \quad |A|^2 = \frac{1}{2} \quad \text{für} \quad \Omega = 1: \quad \frac{1}{2} = \frac{1}{(1 - b_1)^2 + a_1^2}, \quad \text{wenn der}$$

Ausdruck unabhängig von  $\Omega$  sein soll.

$$\text{Es folgt sogleich daraus} \quad \begin{array}{l} a_1 = 1,3617 \\ b_1 = 0,6180 \end{array}.$$

**Hochpass**

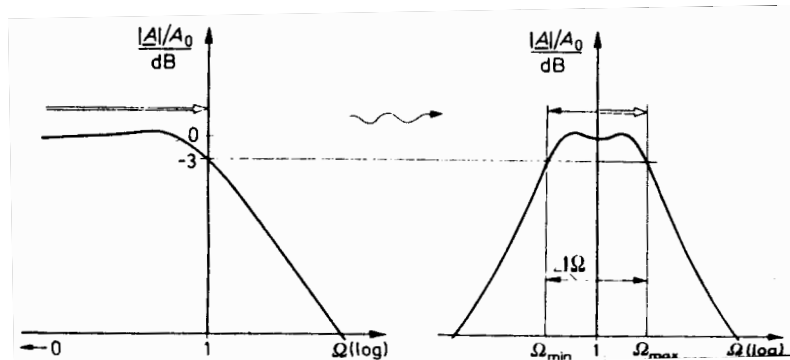
Sämtliche Zusammenhänge für einen Hochpass erhält man durch die Spiegelung der Funktion des Tiefpasses an der Grenzfrequenz, also Ersetzung von  $P$  durch  $\frac{1}{P}$ . Es kann somit eine Tiefpass-Hochpass-Transformation angegeben werden.

$$\text{Es ist somit} \quad A(P) = \frac{A_\infty}{\prod_i \left(1 + \frac{a_i}{P} + \frac{b_i}{P^2}\right)}.$$

Das Verhalten im Zeitbereich ist jedoch nicht so leicht zu transformieren. Qualitativ bleibt nur erhalten, dass der Einschwingvorgang mit größer werdender Polgüte langsamer abklingt.

**Protokoll zum Fortgeschrittenenpraktikum I**  
**Elektronische Messtechnik im WS 2006/2007**

**Bandpass**



**Abbildung 3: Tiefpass-Bandpass-Transformation**  
 (aus /2/ U.Tietze, Ch. Schenk: „Halbleiterschaltungstechnik“ S.424)

Analog zum Hochpass ist wieder durch eine Transformation des Tiefpasses ein Bandpass zu beschreiben. Man ersetzt hierbei  $P$  durch  $\frac{1}{\Delta\Omega} \left( P + \frac{1}{P} \right)$ . Diese Transformation ist in Abbildung 3 veranschaulicht.

Es ist 
$$A(P) = \frac{A_0}{1 + \frac{1}{\Delta\Omega} \left( P + \frac{1}{P} \right)} = \frac{A_0 \Delta\Omega P}{1 + \Delta\Omega P + P^2}$$
, was die Übertragungsfunktion des

einfachsten Bandpasses, einem Bandpassfilter zweiter Ordnung, darstellt.

Die Güte ist hierbei analog wie beim Schwingkreis berechenbar zu

$$Q = \frac{f_r}{B} = \frac{f_r}{f_{\max} - f_{\min}} = \frac{1}{\Omega_{\max} - \Omega_{\min}} = \frac{1}{\Delta\Omega}$$
, wodurch sich die Übertragungsfunktion auch als

$$A(P) = \frac{\left( \frac{A_r}{Q} \right) P}{1 + \frac{1}{Q} P + P^2}$$
 schreiben lässt.

Der Frequenzgang der Amplitude ist also mit  $P = j\omega$

$$|A| = \frac{\left( \frac{A_r}{Q} \right) \Omega}{\sqrt{1 + \Omega^2 \left( \frac{1}{Q^2} - 2 \right) + \Omega^4}}$$
 und die Phasenverschiebung  $\varphi = \arctan \left( \frac{Q(1 - \Omega^2)}{\Omega} \right)$ .

**Protokoll zum Fortgeschrittenenpraktikum I**

**Elektronische Messtechnik im WS 2006/2007**

**Aktive Doppel-T-Bandsperre**

Die Unterdrückungsgüte eines durch einen passiven RC-Sperrfilter erzeugten Doppel-T-Filter liegt bei  $Q = 0,25$ . Durch die Verwendung eines Verstärkers (OV) lässt sie sich erhöhen, indem der Filter in die Rückkopplung des Verstärkers einbezogen wird.

Signale hoher und tiefer Frequenzen werden unverändert übertragen, Signale mit der Resonanzfrequenz werden unterdrückt. Es ist also im ersten Fall die Ausgangsspannung des OVs  $kU_e$  und im zweiten Fall 0, da der Filter so wirkt, als wenn der eingesetzte

Widerstand  $\frac{R}{2}$  (s. Abbildung ■ ■ ■) an Masse angeschlossen wäre, wodurch sich die

Resonanzfrequenz  $f_r = \frac{1}{2\pi RC}$  nicht ändert.

Es ist hierbei  $A(P) = \frac{k(1+P^2)}{1+2(2-k)P+P^2}$ ,  $A_0 = k$  und  $Q = \frac{1}{2(2-k)}$ .

**Phasenempfindlicher Gleichrichter (PEG)**

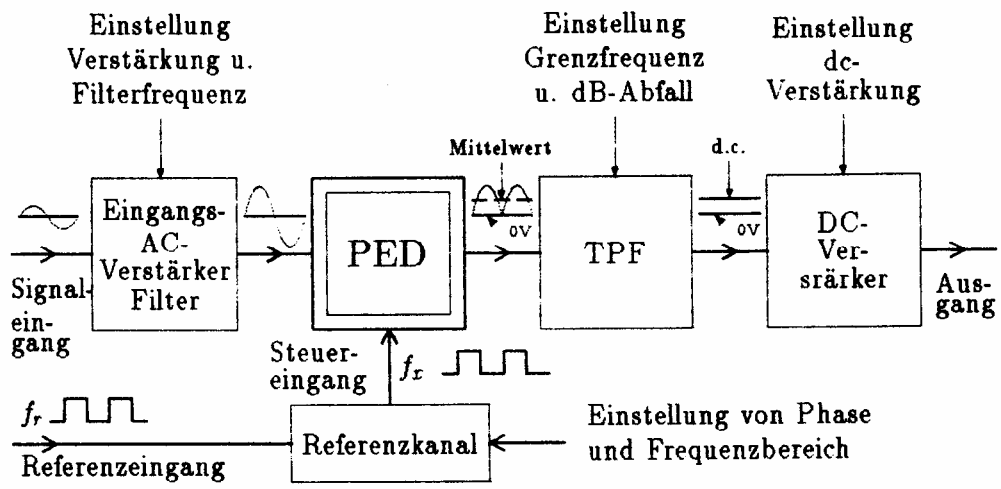


Abbildung 4: Aufbau eines PEGs (aus Dr. H. J. Schütt "Vorbereitungsmaterial für den Versuch "Phasenempfindlicher Gleichrichter" S. 1)

Ein PEG wird verwendet, um kleine Wechselspannungssignale zu messen. Er besteht aus einem phasenempfindlichen Detektor (PED), Filtern und Verstärkern, die nach Abbildung 4 aufgebaut sind.

Es werden Frequenzen gemessen, die ungeradezahlige Harmonische des Referenzsignals sind.

An den Referenzkanal können die unterschiedlichsten Frequenzen, Amplituden und Wellenformen gelegt werden. Die rechteckige und amplitudenkonstante Ausgangsspannung des Referenzkanals ( $f_x = f_r$ ) ist die Eingangssteuerspannung des PED-Kreises.

Das PEG-Eingangssignal wird auf eine für den PED verwertbare Größe verstärkt. Außerdem ist der Eingangsverstärker oft frequenzselektiv.

**Protokoll zum Fortgeschrittenenpraktikum I**

**Elektronische Messtechnik im WS 2006/2007**

Multipliziert man das Eingangssignal und das Steuersignal, so ergibt sich die Ausgangsspannung des PEGs. Verwendet man ein zum Steuersignal synchrones Eingangssignal, so erhält man eine Gleichspannung am Ausgang der Schaltung, bei anderen Frequenzen ergeben sich AC-Ausgangssignale.

Diese können nun mit einem Tiefpassfilter unterdrückt werden, sodass sich eine reine Gleichspannung am Ausgang befindet, welche wiederum verstärkt werden kann, um sie registrieren zu können.

**Phasempfindlicher Detektor (PED)**

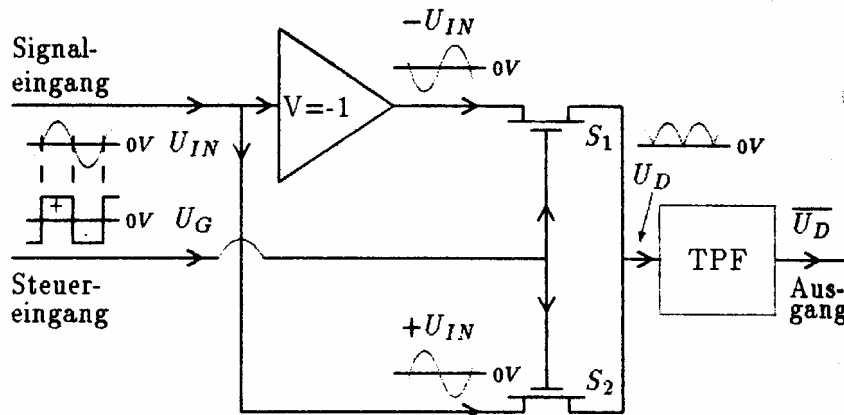


Abbildung 5: Prinzip des PEDs (aus Dr. H. J. Schütt "Vorbereitungsmaterial für den Versuch "Phasempfindlicher Gleichrichter"" S. 2)

Für einen wie in Abbildung 5 vereinfacht dargestellten PED gelten folgende Zusammenhänge:

$$u_D = u_{IN} \cdot u_G$$

$$u_G = \frac{4}{\pi} \left( \sin \omega_x t + \frac{1}{3} \sin 3\omega_x t + \frac{1}{5} \sin 5\omega_x t + \dots \right), \omega_x = 2\pi f_x \text{ und } f_x = f_G = f_r$$

(Signalspannungsfrequenz  $f_x$ , Steuerspannungsfrequenz  $f_G$ , Referenzspannungsfrequenz  $f_r$ )

Für das Eingangssignal kommt zum eigentlichen Signal  $u_S$  oft noch ein Störsignal  $u_N$  (z.B. Netzbrummen) hinzu. So ist  $u_{IN} = u_S + u_N$ .

Vereinfacht soll gelten:

$$u_S = U_S \sin \omega_x t$$

$$u_N = U_N \sin \omega_N t$$

Somit ist das Ausgangssignal des PEDs



**Protokoll zum Fortgeschrittenenpraktikum I****Elektronische Messtechnik im WS 2006/2007**

$$\begin{aligned}
u_D = u_S \cdot u_G + u_N \cdot u_G &= \frac{4}{\pi} U_S \sin \omega_x t \left( \sin \omega_x t + \frac{1}{3} \sin 3\omega_x t + \frac{1}{5} \sin 5\omega_x t + \dots \right) \\
&+ \frac{4}{\pi} U_N \sin \omega_N t \left( \sin \omega_x t + \frac{1}{3} \sin 3\omega_x t + \frac{1}{5} \sin 5\omega_x t + \dots \right) \\
&= \frac{4}{\pi} U_S \left( \sin^2 \omega_x t + \frac{1}{3} \sin \omega_x t \sin 3\omega_x t + \frac{1}{5} \sin \omega_x t \sin 5\omega_x t + \dots \right) \\
&\quad \text{(Gleich- \& Wechselspannungsterme)} \\
&+ \frac{4}{\pi} U_N \left( \sin \omega_N t \sin \omega_x t + \frac{1}{3} \sin \omega_N t \sin 3\omega_x t + \frac{1}{5} \sin \omega_N t \sin 5\omega_x t + \dots \right) \\
&\quad \text{(nur Wechselspannungsterme, Mittelwert = 0)}
\end{aligned}$$

Der Gleichspannungswert von  $u_D$  ist also  $\overline{u_D} = \overline{\frac{4}{\pi} U_S \sin^2 \omega_x t} = \frac{4}{\pi} U_S \frac{1}{2} (1 - \cos 2\omega_x t) = \frac{2}{\pi} U_S$ .

Für eine Phasendifferenz  $\varphi \neq 0$  zwischen Steuer- und Synchron Eingangssignal ergibt sich

$$u_S = U_S \sin(\omega_x t + \varphi).$$

Der DC-Wert des Ausgangssignals des PEDs ist somit (Zweiweggleichrichter!):

$$\overline{u_D} = \frac{4}{\pi} U_S \overline{\sin(\omega_x t + \varphi) \sin(\omega_x t)} = \frac{4}{\pi} U_S \frac{1}{2} \overline{\cos(\varphi) - \cos(2\omega_x t + \varphi)} = \frac{2}{\pi} \hat{U}_S \cos \varphi$$

Für  $\varphi = n \frac{\pi}{2}$  ergibt sich somit für ungeradzahlige  $n$ :  $\overline{u_D} = \frac{2}{\pi} \hat{U}_S \cos \frac{\pi}{2} = 0$ .

Exemplarisch werden hierzu einige Fälle im Anhang A1 dargestellt.

**Filterung der Harmonischen**

Es ist  $\overline{u_D} = \overline{u_G u_S} = \overline{u_G U_S \sin n \omega_x t}$ , wenn die synchrone Komponente des PED-Eingangs eine Harmonische der Referenzfrequenz ist.

Nach der bereits ausgeführten Entwicklung ist für z.B.  $n=3$  dann

$$\overline{u_D} = \frac{4}{\pi} U_S \frac{1}{3} \overline{\sin^2 3\omega_x t} = \frac{1}{3} \cdot \frac{2}{\pi} U_S.$$

Allgemein gilt:  $\overline{u_D} = \frac{4}{\pi} U_S \frac{1}{n} \overline{\sin^2 n \omega_x t} = \frac{1}{n} \cdot \frac{2}{\pi} U_S$ .

**Protokoll zum Fortgeschrittenenpraktikum I**  
**Elektronische Messtechnik im WS 2006/2007**

**Verstärkung**

Die Verstärkung ist allgemein gegeben durch das Verhältnis zwischen effektiver Ausgangsspannung des Tiefpassfilters (TPF) zur effektiven Eingangsspannung des PEDs.

Bei Synchronbetrieb ergibt sich somit:

$$V = \frac{\frac{2}{\pi} U_s}{\frac{U_s}{\sqrt{2}}} = \sqrt{2} \frac{2}{\pi} (= 0,9)$$

Bei Asynchronbetrieb ist für  $(\omega_x - \omega_N) < \omega_g = \frac{1}{RC}$  die Ausgangsspannung des TPFs

$$u_F = \frac{2}{\pi} U_N \cos(\omega_x - \omega_N)t \text{ mit dem Effektivwert } u_{F_{eff}} = \sqrt{2} \frac{U_N}{\pi}.$$

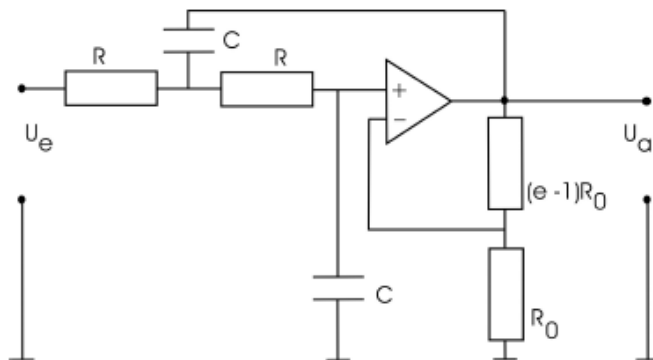
Die Verstärkung ist somit

$$V = \frac{\frac{\sqrt{2}}{\pi} U_N}{\frac{U_N}{\sqrt{2}}} = \frac{2}{\pi} \text{ und damit um Faktor } \sqrt{2} \text{ kleiner als die Synchronverstärkung.}$$

**Protokoll zum Fortgeschrittenenpraktikum I****Elektronische Messtechnik im WS 2006/2007****III Versuchsteil****Aktive Filter****Tiefpass****III.i.a Versuchsaufbau**

Die für diesen Versuch benötigten Materialien sind:

- Modul mit OV B084 (4-fach OV)
- Oszilloskop Agilent 54603B mit Messkabeln
- Gleichspannungsquelle (+/- 12V, GND)
- Funktionsgenerator
- RC-Glied aus Versuch 1
- diverse Laborstecker-Kabel



**Abbildung 6: Schaltbild eines aktiven Tiefpasses**  
(aus der Versuchsbeschreibung „Frequenzselektive Messungen“ der Universität Rostock)

Es wird ein aktiver Tiefpass nach Abbildung 6 aufgebaut.

Dazu wird das RC-Glied aus dem ersten Versuch verwendet mit  $R = 10k\Omega$  und  $C = 10nF$ .

Das Verhältnis des Spannungsteilers am OV-Ausgang, der einen Teil der Ausgangsspannung auf den invertierenden Eingang zurückkoppelt bestimmt den jeweiligen Verstärkertyp.

Es ist ein

- |                             |                 |
|-----------------------------|-----------------|
| (a) Bessel-TP-Filter        | für $e=1,268$ , |
| (b) Butterworth-TP-Filter   | für $e=1,586$ , |
| (c) Tschebyscheff-TP-Filter | für $e=2,234$ . |

Als Eingangssignal wird eine Sinusspannung mit 5V Amplitude und unterschiedlichen Frequenzen gewählt.

**Protokoll zum Fortgeschrittenenpraktikum I**

**Elektronische Messtechnik im WS 2006/2007**

**III.i.b Versuchsdurchführung**

Bei diesem Versuch werden die Ausgangsspannung sowie die Phasenverschiebung zwischen Ein- und Ausgangssignal in Abhängigkeit der verwendeten Frequenz gemessen. Aus den sich in Tabelle 1 im Anhang befindlichen Messdaten ergeben sich nach Skalierung der Phasenverschiebung (mit Faktor 2) folgende Frequenzgänge der unterschiedlichen Pässe (Abbildung 7):

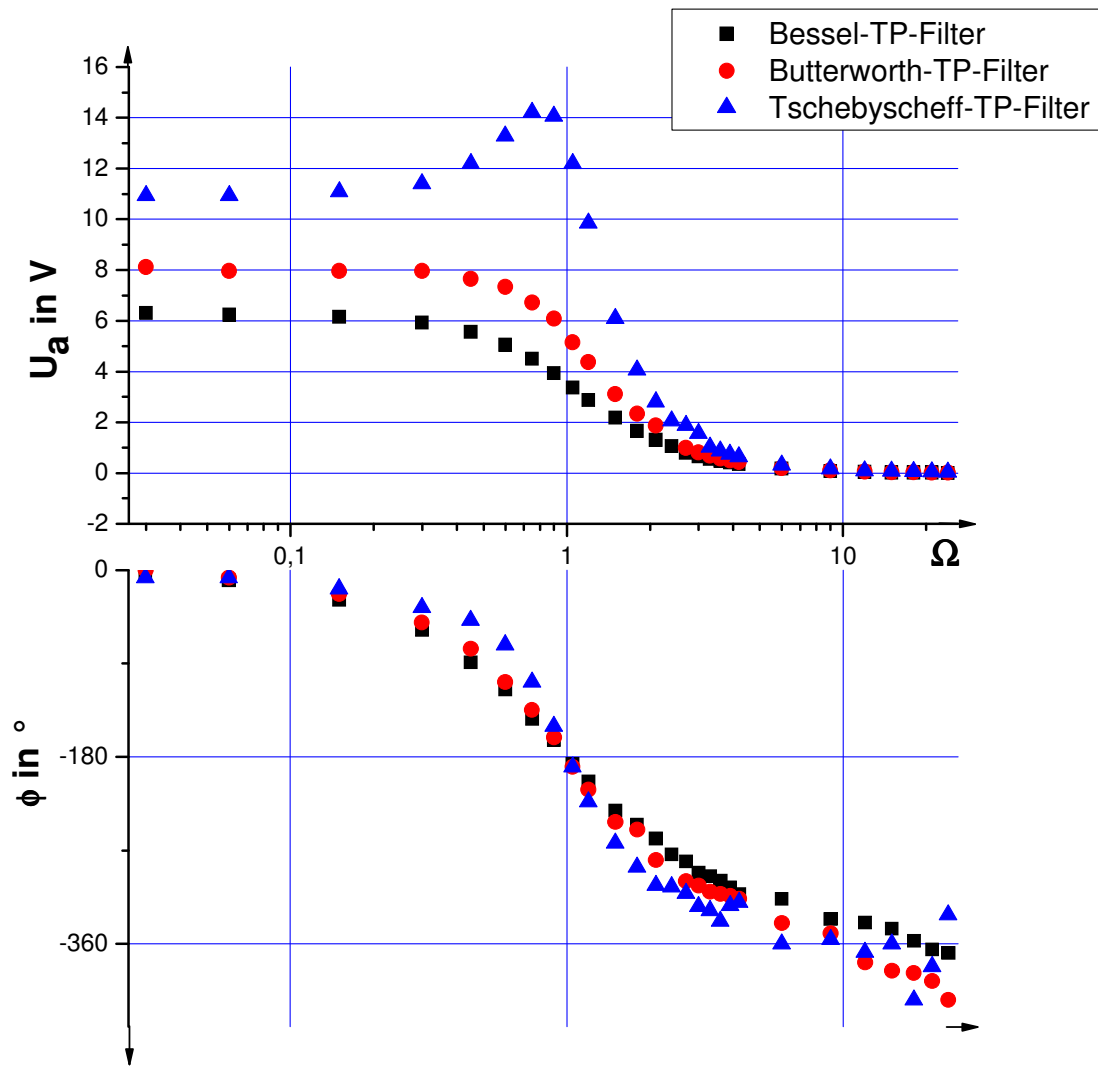


Abbildung 7: Frequenzgänge unterschiedlicher Tiefpassfilter

Dabei ist die Grenzfrequenz des verwendeten RC-Gliedes  $f_g = 1,667kHz$ , also die normierte

$$\text{Frequenz } \Omega = \frac{f}{f_g} = \frac{f}{1,667kHz}.$$

**Protokoll zum Fortgeschrittenenpraktikum I****Elektronische Messtechnik im WS 2006/2007****III.i.c Zusammenfassung und Schlussfolgerungen**

Die Frequenzgangkurvenverläufe für Amplitude und Phasenverschiebung entsprechen den theoretischen Erwartungen im vollen Umfang. Die Skalierung der Phasenverschiebung ist notwendig gewesen, um die falsche Anzeige des Oszilloskops zu korrigieren.

Die Fluktuationen der Phasenverschiebung beim Tschebyschefffilter sind auf Messfehler (wackelnde, nicht vom Oszilloskop auswertbare Anzeige) und äußere Einflüsse zurückzuführen.

Es ist:

$$A(P) = \frac{\alpha}{1 + \omega_g RC(3 - \alpha)P + (\omega_g RC)^2 P^2}$$

woraus durch einen Koeffizientenvergleich mit der allgemeinen Übertragungsfunktion für Tiefpässe (3) von Seite 2 folgt, dass

$$RC = \frac{\sqrt{b_1}}{2\pi f_g} \quad \text{und} \quad \alpha = A_0 = 3 - \frac{a_1}{\sqrt{b_1}} = 3 - \frac{1}{Q_1}$$

Daraus folgt, dass die Güte

$$(a) \quad Q_{1-Bessel} = \frac{1}{3 - \alpha_{Bessel}} = \frac{1}{3 - 1,268} \approx 0,577$$

$$(b) \quad Q_{1-BW} = \frac{1}{3 - \alpha_{BW}} = \frac{1}{3 - 1,586} \approx 0,707$$

$$(c) \quad Q_{1-Tsch} = \frac{1}{3 - \alpha_{Tsch}} = \frac{1}{3 - 2,234} \approx 1,305$$

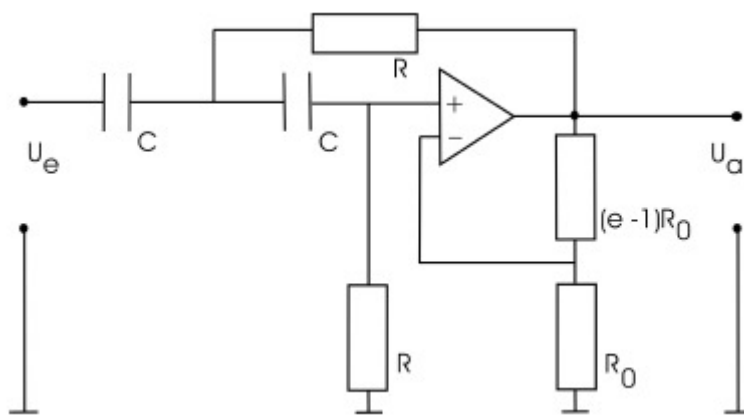
ist.

**Protokoll zum Fortgeschrittenenpraktikum I**  
**Elektronische Messtechnik im WS 2006/2007**

**Hochpass****III.ii.a Versuchsaufbau**

Die für diesen Versuch benötigten Materialien sind:

- Modul mit OV B084 (4-fach OV)
- Oszilloskop Agilent 54603B mit Messkabeln
- Gleichspannungsquelle (+/- 12V, GND)
- Funktionsgenerator
- RC-Glied aus Versuch 1
- 1 Widerstandsdekade
- diverse Laborstecker-Kabel



**Abbildung 8: Schaltbild eines aktiven Tiefpasses**  
 (aus der Versuchsbeschreibung „Frequenzselektive Messungen“ der Universität Rostock)

Es wird ein Wobelmessplatz aus Funktionsgenerator und Oszilloskop für die in Abbildung 9 gezeigte Schaltung aufgebaut.

Das Swp-Out-Signal des Funktionsgenerators wird an „Channel 1“ des Oszilloskops gelegt, das Output-Signal an den Eingang der Schaltung und das Ausgangssignal der Schaltung an „Channel 2“ des Oszilloskops.

**III.ii.b Versuchsdurchführung**

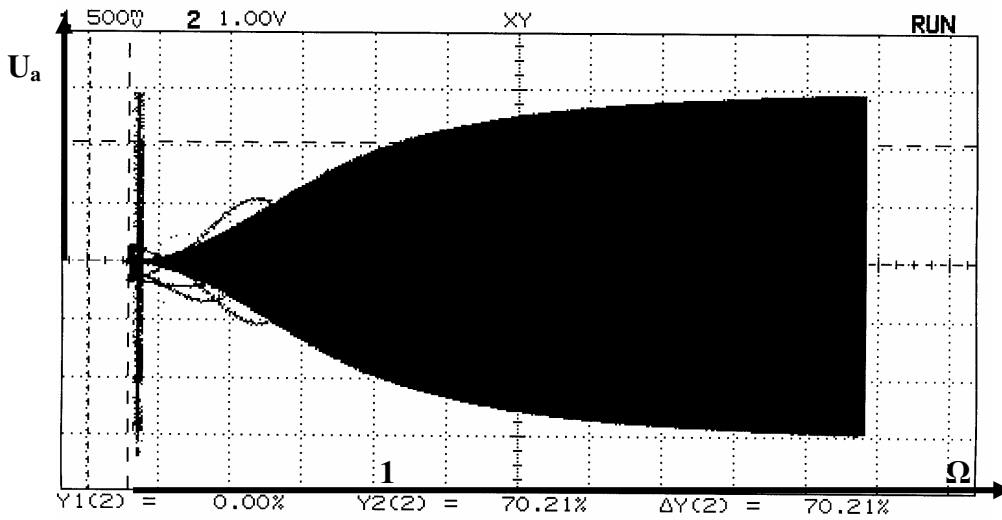
Beim Wobbeln fährt der Funktionsgenerator alle Frequenzen eines auswählbaren Bereiches in einer ebenfalls einstellbaren Zeit automatisch durch.

Das Ergebnis wird mit Hilfe des XY-Modus und der STORE-Funktion des Oszilloskops in einem einzigen Messbild festgehalten.

Der Versuch wird wie zuvor für die durch  $e$  definierten unterschiedlichen Widerstandsverhältnisse durchgeführt.

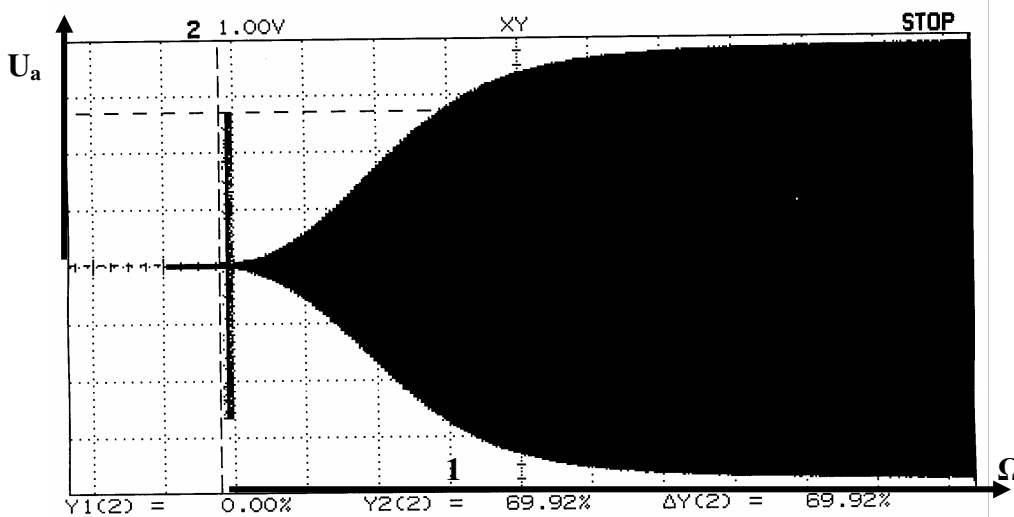
**Protokoll zum Fortgeschrittenenpraktikum I**  
**Elektronische Messtechnik im WS 2006/2007**

Für die Einstellung  $e=1,268$  ergibt sich folgendes Messbild (Abbildung 9):



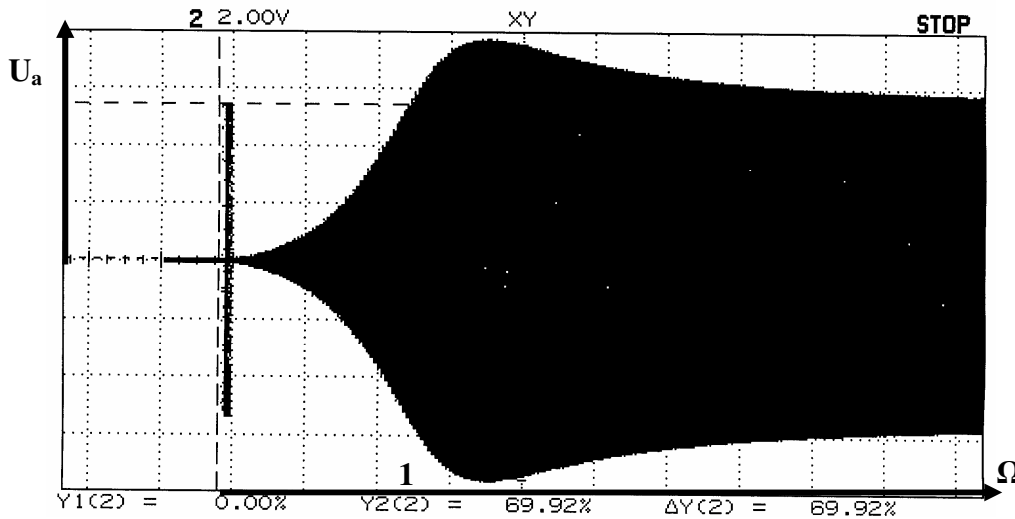
**Abbildung 9: Frequenzgang des Hochpasses mit  $e = 1,268$**

Für die Einstellung  $e=1,586$  ergibt sich folgendes Messbild (Abbildung 10):



**Abbildung 10: Frequenzgang des Hochpasses mit  $e = 1,586$**

Für die Einstellung  $e=2,234$  ergibt sich folgendes Messbild (Abbildung 11):



**Abbildung 11: Frequenzgang des Hochpasses mit  $e = 2,234$**

## Protokoll zum Fortgeschrittenenpraktikum I

### Elektronische Messtechnik im WS 2006/2007

Die Frequenzachse wurde bei allen Abbildungen wie schon zuvor auf die Grenzfrequenz normiert.

#### III.ii.c Zusammenfassung und Schlussfolgerungen

Die gemessenen Grenzfrequenzen betragen

- (a) 1,981kHz für  $e = 1,268$
- (b) 1,681kHz für  $e = 1,586$
- (c) 1,384kHz für  $e = 2,234$

Das Verhalten der verschiedenen Typen entspricht den theoretischen Erwartungen. Die unterschiedlichen Güten entsprechen denen des Tiefpasses.

#### Bandpassfilter

##### III.iii.a Versuchsaufbau

Die für diesen Versuch benötigten Materialien sind:

- Modul mit OV B084 (4-fach OV)
- Oszilloskop Agilent 54603B mit Messkabeln
- Gleichspannungsquelle (+/- 12V, GND)
- Funktionsgenerator
- RC-Glied aus Versuch 1
- 1 Widerstandsdekade
- diverse Laborstecker-Kabel

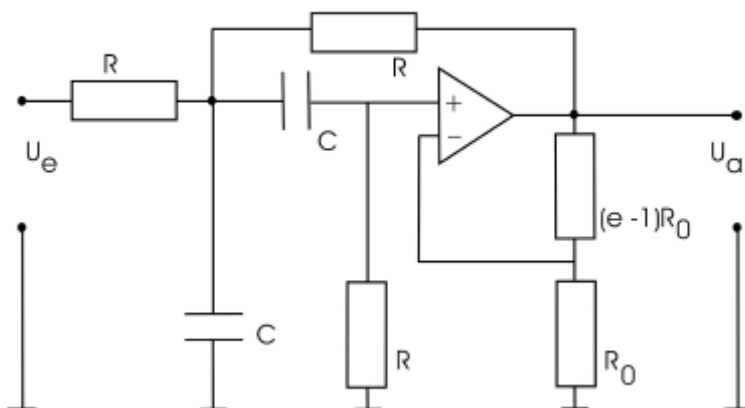


Abbildung 12: Schaltbild eines Bandpasses  
(aus der Versuchsbeschreibung „Frequenzselektive Messungen“ der Universität Rostock)

Es wird ein Bandpass nach Abbildung 12 aufgebaut und wie beim vorhergehenden Versuch an einem Wobbelmessplatz untersucht.

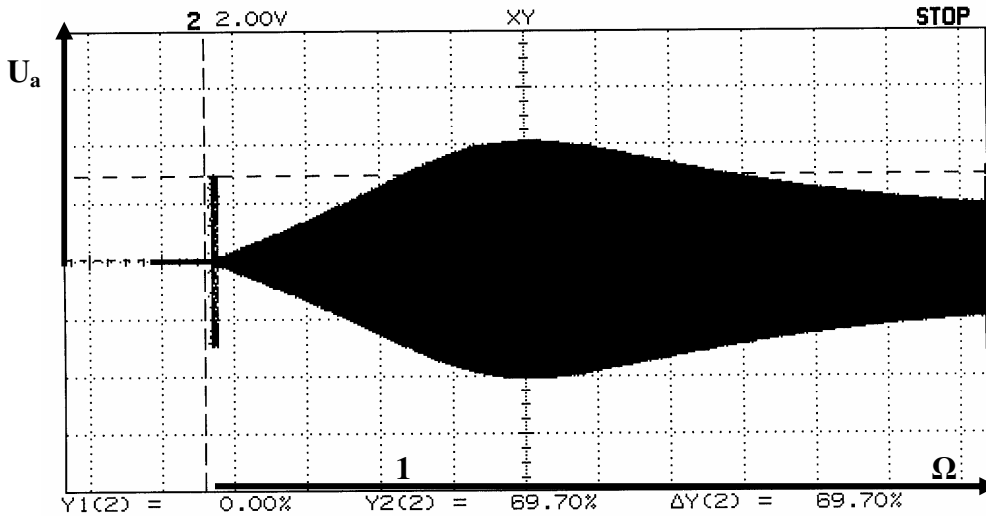
##### III.iii.b Versuchsdurchführung

Das Vorgehen ist analog zum vorherigen Versuch mit dem Hochpass.



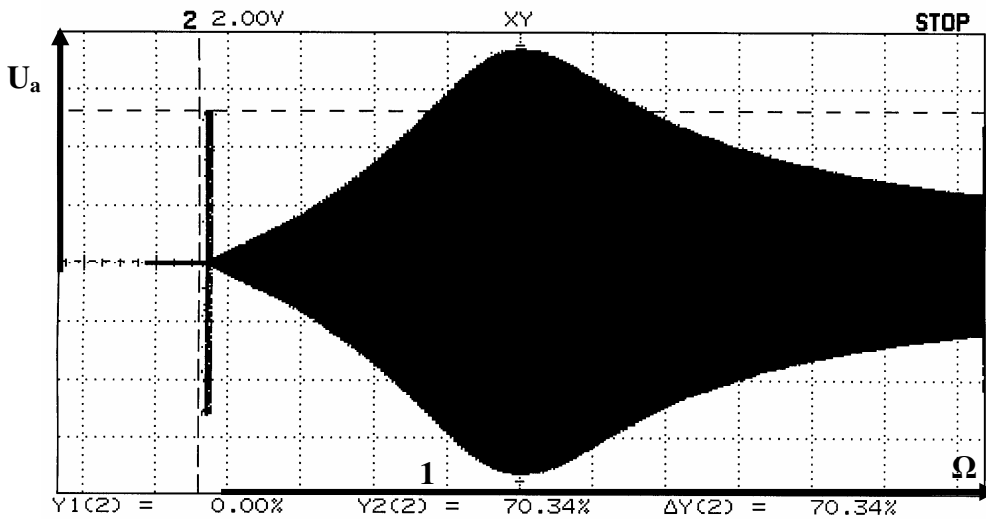
**Protokoll zum Fortgeschrittenenpraktikum I**  
**Elektronische Messtechnik im WS 2006/2007**

Für die Einstellung  $e=1,268$  ergibt sich folgendes Messbild (Abbildung 13):



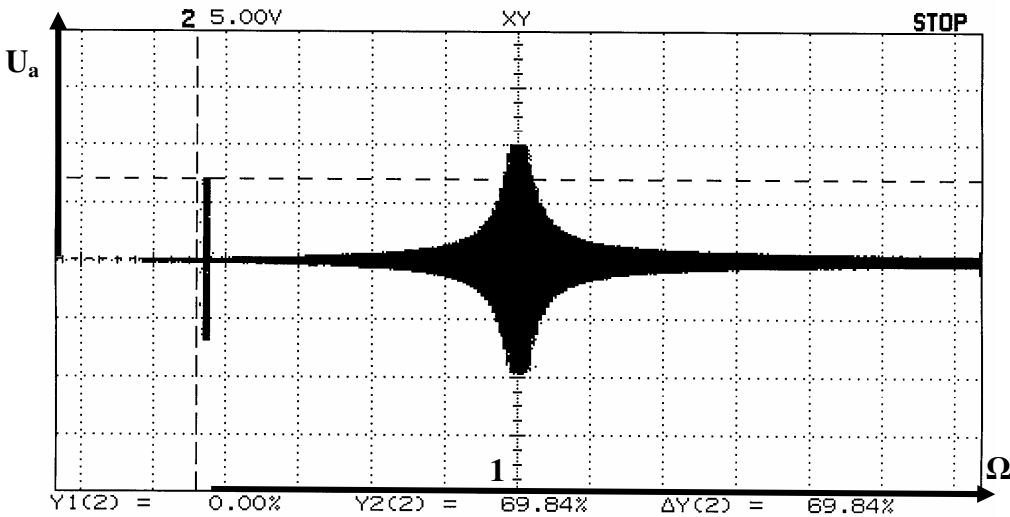
**Abbildung 13: Frequenzgang des Bandpasses mit  $e = 1,268$**

Für die Einstellung  $e=1,586$  ergibt sich folgendes Messbild (Abbildung 14):



**Abbildung 14: Frequenzgang des Bandpasses mit  $e = 1,586$**

Für die Einstellung  $e=2,234$  ergibt sich folgendes Messbild (Abbildung 15):



**Abbildung 15: Frequenzgang des Bandpasses mit  $e = 2,234$**

**Protokoll zum Fortgeschrittenenpraktikum I****Elektronische Messtechnik im WS 2006/2007**

Die Frequenzachse wurde bei allen Abbildungen wie schon zuvor auf die Grenzfrequenz normiert.

**III.iii.c Zusammenfassung und Schlussfolgerungen**

Die gemessenen Grenzfrequenzen betragen

- (a) 1,441kHz für  $e = 2,5$  →  $Q = 2$
- (b) 1,675kHz für  $e = 3$  →  $Q = \infty$
- (c) 2,237kHz für  $e = 3,9$  →  $Q = -1,111$

Das Verhalten der verschiedenen Typen entspricht den theoretischen Erwartungen. Sehr gut zu erkennen ist, dass für  $e \rightarrow 4$  die Verstärkung unendlich groß wird. Um ein auswertbares Messbild zu erhalten, musste daher die 20dB-Dämpfung des FGs verwendet werden.

Die Bandmittenverstärkung ergibt sich beim Bandpass aus dem Verhältnis zwischen maximaler Aus- und Eingangsspannung.

Sie ist bei

- (a)  $V_0 \approx 1,6$
- (b)  $V_0 \approx 3$
- (c)  $V_0 \approx 20$

*Anmerkung: Bei der Verwendung von  $e = \dots$  sind anscheinend Fehler aufgetreten.*

*Für  $e=3$  hätte hier die Verstärkung gegen unendlich gehen müssen, da  $V = \frac{k}{3-e}$ .*

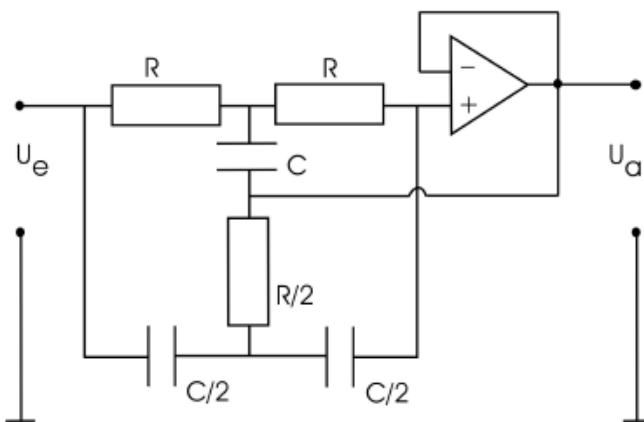
*Im Versuch ergab sich hingegen eher die Beziehung  $V = \frac{k}{4-e}$*

**Protokoll zum Fortgeschrittenenpraktikum I**  
**Elektronische Messtechnik im WS 2006/2007**

**Bandsperre****III.iv.a Versuchsaufbau**

Die für diesen Versuch benötigten Materialien sind:

- Modul mit OV B084 (4-fach OV)
- Oszilloskop Agilent 54603B mit Messkabeln
- Gleichspannungsquelle (+/- 12V, GND)
- Funktionsgenerator
- RC-Glied aus Versuch 1
- diverse Laborstecker-Kabel



**Abbildung 16: Schaltbild einer Bandsperre**  
(aus der Versuchsbeschreibung „Frequenzselektive Messungen“ der Universität Rostock)

Es wird eine Bandsperre nach Abbildung 16 aufgebaut und wie beim vorhergehenden Versuch an einem Wobbelmessplatz untersucht.

**III.iv.b Versuchsdurchführung**

Das Vorgehen ist analog zum Versuch mit dem Hochpass.  
Es ergibt sich folgendes Messbild (Abbildung 17):

**Protokoll zum Fortgeschrittenenpraktikum I**

**Elektronische Messtechnik im WS 2006/2007**

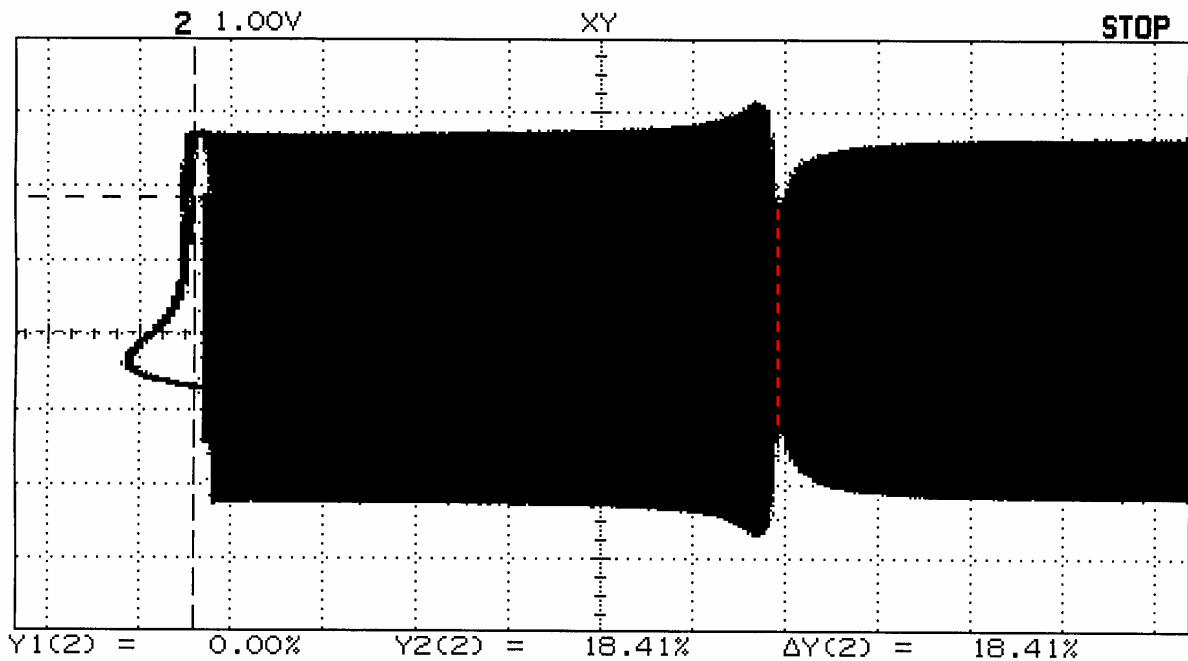


Abbildung 17: Frequenzgang des Bandsperrre

**III.iv.c Zusammenfassung und Schlussfolgerungen**

Da die Anzeige des Oszilloskops nicht ausreichte, den Spalt (rot markiert) im Frequenzgang der Bandsperrre vollständig darzustellen, wurde durch Probieren eine geringfügig höhere Grenzfrequenz ermittelt, als durch die herkömmliche Methode (Veränderung der Frequenz am FG, bis Amplitude 70% des Maximums erreicht. Abgelesener Wert ist die Grenzfrequenz).

So ergibt sich eine grafisch ermittelte Grenzfrequenz von 3,318kHz und eine „gefühlte“ von 3,345kHz.

Die Bandmittenverstärkung beträgt wie erwartet (OV arbeitet als Impedanzwandler)  $V_0 \approx 1$ .

**Protokoll zum Fortgeschrittenenpraktikum I**

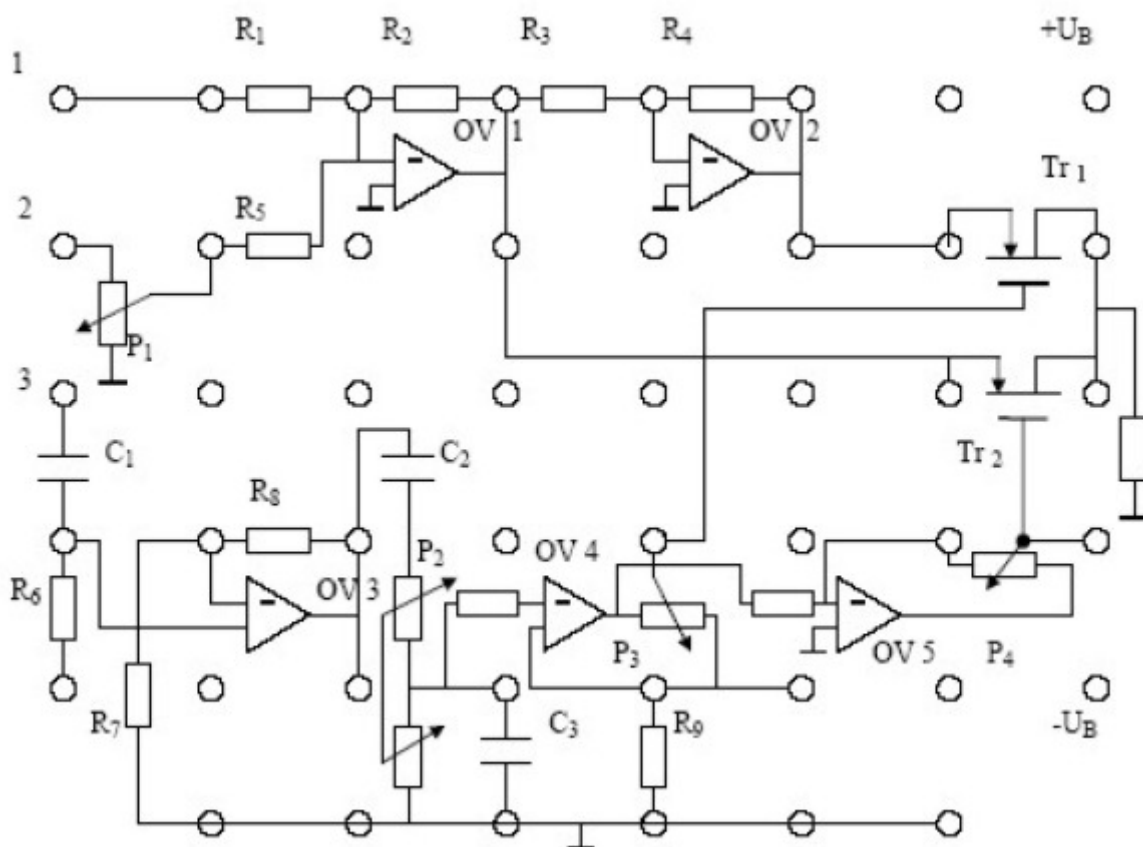
**Elektronische Messtechnik im WS 2006/2007**

**Phasenempfindlicher Gleichrichter  
Synchronbetrieb**

**III.v.a Versuchsaufbau**

Die für diesen Versuch benötigten Materialien sind:

- PEG-Modul
- Oszilloskop Agilent 54603B mit Messkabeln
- diverse Laborstecker-Kabel
- Gleichspannungsquelle (+/- 12V, GND)
- Funktionsgenerator



**Abbildung 18: PEG**

Es wird ein phasenempfindlicher Gleichrichter nach Abbildung 18 im Synchronbetrieb (Referenz- und Eingangssignal mit einem Kabel verbinden) betrieben. Es sind:

$$R_1 = R_2 = R_3 = R_4 = R_5 = R_7 = R_8 = R_{10} = R_{11} = 10k\Omega$$

$$R_6 = 1k\Omega \quad R_9 = 100k\Omega$$

$$P_1 = 4,7k\Omega \quad P_2 = 2 \times 47k\Omega \quad P_3 = 100k\Omega \quad P_4 = 10k\Omega$$

$$C_1 = 100nF \quad C_2 = C_3 = 10nF$$

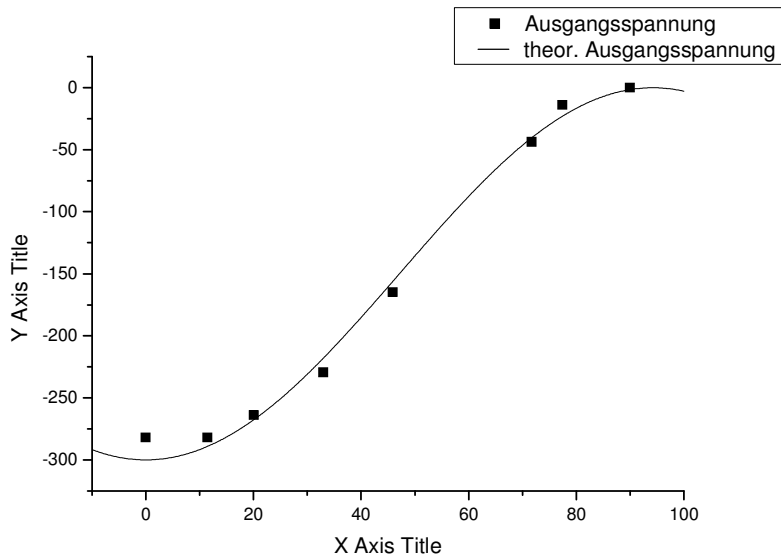
Für eine Phasenverschiebung nahe 90° wird  $R_6$  auf Masse gelegt.

**Protokoll zum Fortgeschrittenenpraktikum I**

**Elektronische Messtechnik im WS 2006/2007**

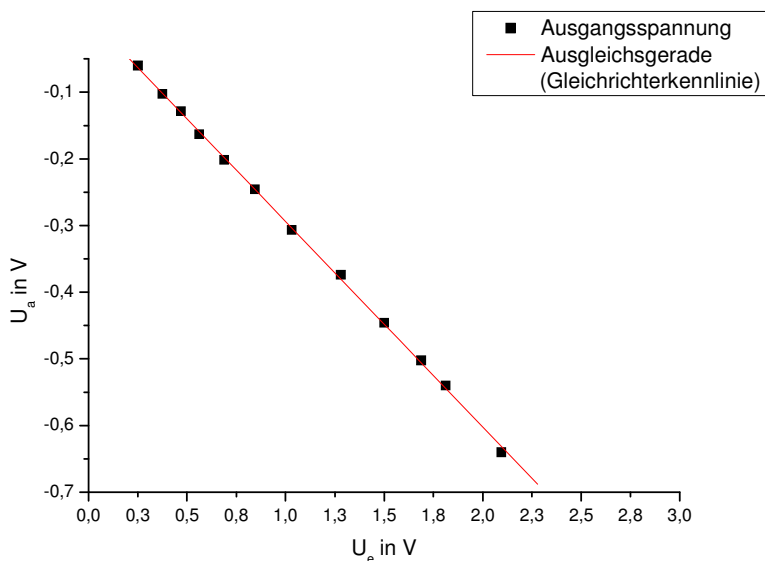
**III.v.b Versuchsdurchführung**

(a) Es wird die Ausgangsspannung  $U_a$  in Abhängigkeit von der Phasenverschiebung  $\varphi$  gemessen. Die Ergebnisse sind in Tabelle 2 im Anhang enthalten und ergeben folgendes Diagramm (Abbildung 19):



**Abbildung 19: Ausgangssignal des PEGs im Synchronbetrieb für unterschiedliche Phasenverschiebungen**

(b) Es wird für eine Phasenverschiebung von  $0^\circ$  die über einen Tiefpass ( $f_g = 20Hz$ ) gefilterte Ausgangsspannung in Abhängigkeit von der Eingangsspannung gemessen. Dadurch entsteht die Gleichrichtercharakteristik (Abbildung 20) aus den Werten der Tabelle 3 im Anhang:



**Abbildung 20: Ausgangsspannung des PEG nach einem TPF bei variierender Eingangsspannung**

**Protokoll zum Fortgeschrittenenpraktikum I****Elektronische Messtechnik im WS 2006/2007****III.v.c Zusammenfassung und Schlussfolgerungen**

(a) Wie man Abbildung 19 entnehmen kann, entspricht die Messkurve den theoretischen Erwartungen im vollen Umfang (Quantitativer Vergleich mit Hilfe der theoretisch erwarteten Kurve).

(b) Die Steigung der Ausgleichgeraden aus Abbildung 20 beträgt -0,308.

Bedenkt man den Zusammenhang zwischen Mittelwert der Spannung und dem Effektivwert und sieht man vom Vorzeichen ab, so entspricht dies dem theoretisch erwarteten

Zusammenhang  $u_F = \frac{2}{\pi} U_S$ .

**Protokoll zum Fortgeschrittenenpraktikum I****Elektronische Messtechnik im WS 2006/2007****Asynchronbetrieb****III.vi.a Versuchsaufbau**

Die für diesen Versuch benötigten Materialien sind:

- PEG-Modul
- Oszilloskop Agilent 54603B mit Messkabeln
- diverse Laborstecker-Kabel
- Gleichspannungsquelle (+/- 12V, GND)
- Funktionsgenerator (1V sinus, 1kHz)
- Funktionsgenerator (1V sinus, variable Frequenz, mit Digitalanzeige einstellbar)

Es wird analog zum vorherigen Versuch ein PEG aufgebaut.

Allerdings wird nun eine Signalquelle als Referenzsignal mit konstanter Amplitude und konstanter Frequenz verwendet.

Der andere FG wird in seiner Frequenz variiert.

Der Versuch wird mit drei Grenzfrequenzen des nachgeschalteten Tiefpasses zu

(a) 100Hz (b) 20Hz durchgeführt.

**III.vi.b Versuchsdurchführung**

Durch Variation der Eingangssignalfrequenz tritt für ungeradzahlige Vielfache der Referenzfrequenz eine Ausgangsspannung auf, für geradzahlige Vielfache ist diese Null.

Die Messdaten zum Versuch aus Tabelle 4 im Anhang ergeben folgendes Diagramm (Abbildung 21):

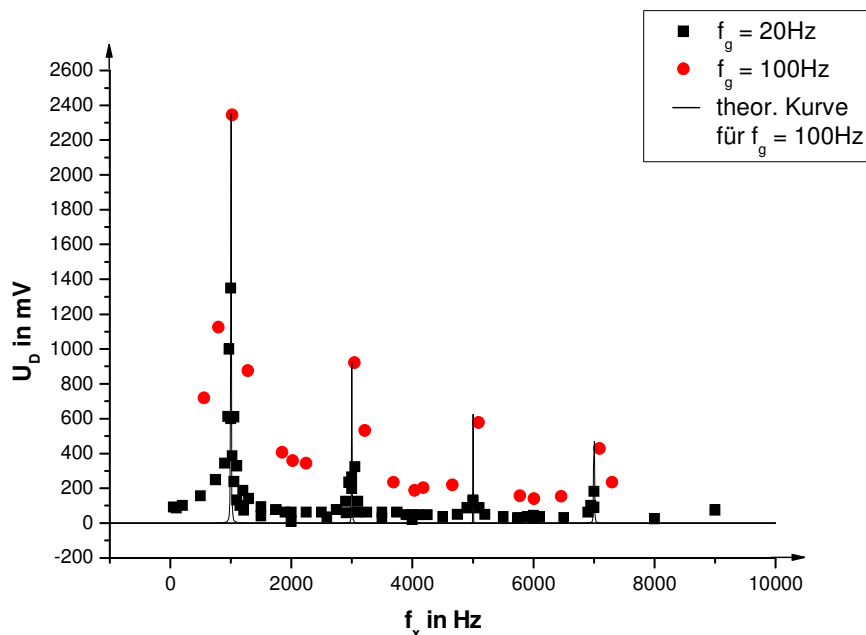


Abbildung 21: PEG im Asynchronbetrieb

**III.vi.c Zusammenfassung und Schlussfolgerungen**

Die Ergebnisse entsprechen im vollen Umfang den theoretischen Erwartungen.

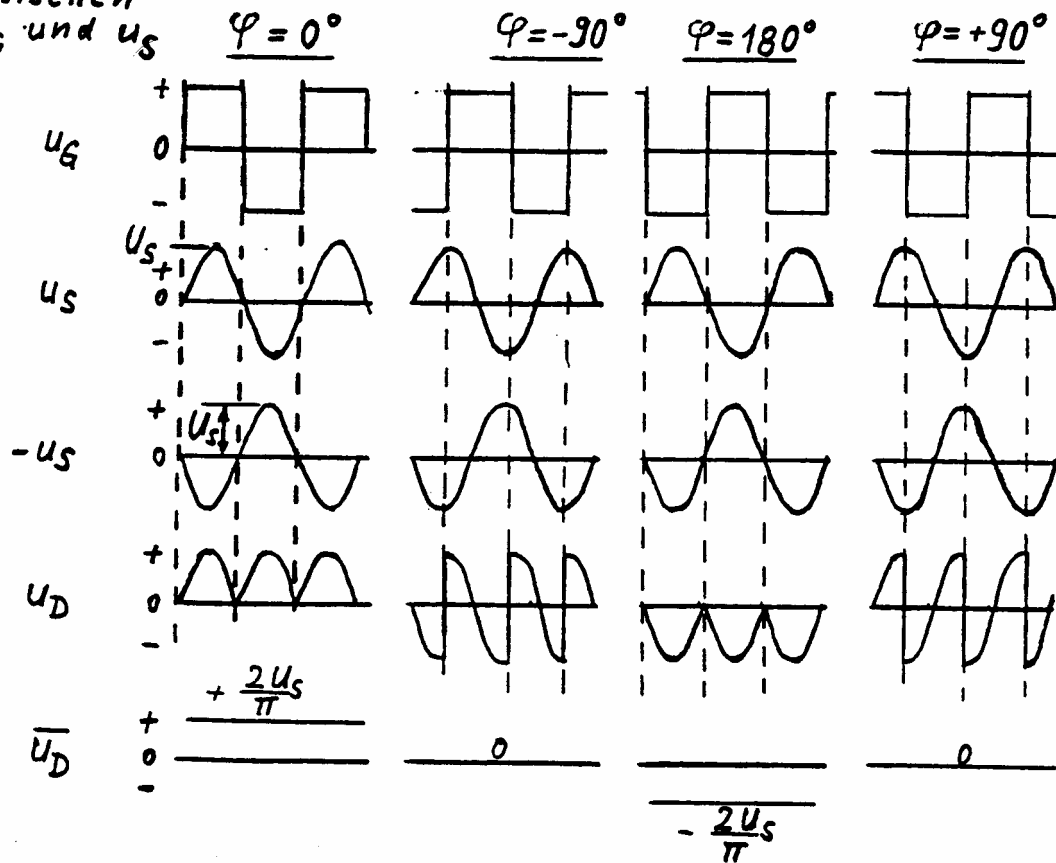


Protokoll zum Fortgeschrittenenpraktikum I

Elektronische Messtechnik im WS 2006/2007

IV Anhang

Phasendifferenz  $\varphi$   
zwischen  
 $u_G$  und  $u_S$



A 1: Wellenformen des Phasempfindlichen Detektors (aus Dr. H. J. Schütt "Vorbereitungsmaterial für den Versuch "Phasempfindlicher Gleichrichter" S. 5)

**Protokoll zum Fortgeschrittenenpraktikum I**

**Elektronische Messtechnik im WS 2006/2007**

**Tabelle 1: Messwerte zum aktiven Tiefpass**

<b>Frequenz f in Hz</b>	<b>Normierte Frequenz <math>\Omega</math></b>	<b><math>U_a</math> in V (Bessel)</b>	<b><math>\varphi</math> in <math>^\circ</math> (Bessel)</b>	<b><math>U_a</math> in V (Butterw.)</b>	<b><math>\varphi</math> in <math>^\circ</math> (Butterw.)</b>	<b><math>U_a</math> in V (Tscheb.)</b>	<b><math>\varphi</math> in <math>^\circ</math> (Tscheb.)</b>
10	0,006	6,375	0	8,13	0	10,94	0
50	0,02999	6,312	-1,8	8,13	0	10,94	-3,6
100	0,05999	6,25	-5,04	7,97	-3,6	10,94	-3,6
250	0,14997	6,163	-14,4	7,97	-11,6	11,09	-9
500	0,29994	5,937	-28,8	7,97	-25,3	11,41	-18
750	0,44991	5,562	-44,49	7,66	-37,9	12,19	-24,27
1000	0,59988	5,062	-57,6	7,34	-54	13,28	-36
1250	0,74985	4,5	-71,82	6,72	-67,5	14,22	-54
1500	0,89982	3,938	-81,92	6,09	-80,6	14,06	-75,22
1750	1,04979	3,375	-93,47	5,16	-94,7	12,19	-94,74
2000	1,19976	2,875	-101,8	4,37	-105,9	9,844	-111,6
2500	1,4997	2,188	-115,8	3,12	-121,5	6,094	-131,4
3000	1,79964	1,663	-122,6	2,34	-125	4,062	-143,1
3500	2,09958	1,312	-129,4	1,87	-139,7	2,813	-151,8
4000	2,39952	1,062	-136,9	--	--	2,063	-152,6
4500	2,69946	0,797	-140,4	1	-150	1,875	-155,7
5000	2,9994	0,656	-145,8	0,81	-152	1,562	-162
5500	3,29934	0,563	-147,5	0,69	-155	1,031	-164
6000	3,59928	0,484	-149,6	0,58	-156	0,875	-169,2
6500	3,89922	0,421	-152,9	0,5	-157	0,75	-161,5
7000	4,19916	0,359	-156,1	0,44	-158,5	0,6406	-160
10000	5,9988	0,181	-158,4	0,21	-170	0,3219	-180
15000	8,9982	0,075	-168,1	0,1	-175	0,1596	-178
20000	11,9976	0,045	-169,9	0,06	-189	0,09688	-184
25000	14,997	0,029	-172,8	0,04	-193	0,07812	-180
30000	17,9964	0,025	-178,7	0,03	-194	0,06094	-207
35000	20,9958	0,015	-182,8	0,02	-198	0,04531	-191
40000	23,9952	0,013	-184,6	0,02	-207	0,032	-166

**Protokoll zum Fortgeschrittenenpraktikum I**  
**Elektronische Messtechnik im WS 2006/2007**

**Tabelle 2: Messwerte zum PEG im Synchronbetrieb**

<b>Phasenverschiebung <math>\varphi</math> in <math>^{\circ}</math></b>	<b>Ausgangsspannung in mV</b>
0	-282
11,47	-282
20,08	-264
32,99	-229,7
45,9	-165
71,71	-43,77
77,45	-14,01
90	0

**Tabelle 3: Messwerte zum PEG im Synchronbetrieb mit TPF**

<b>Eingangsspannung in V</b>	<b>Ausgangsspannung in V</b>
0,25	-0,06
0,375	-0,103
0,468	-0,1285
0,562	-0,1635
0,688	-0,202
0,844	-0,246
1,031	-0,307
1,28	-0,374
1,5	-0,446
1,687	-0,502
1,812	-0,54
2,094	-0,64

**Protokoll zum Fortgeschrittenenpraktikum I**

**Elektronische Messtechnik im WS 2006/2007**

**Tabelle 4: Messwerte zum PEG im Asynchronbetrieb**

$f_x$ in Hz ( $f_g=20\text{Hz}$ )	$U_a$ in mV	$f_x$ in Hz ( $f_g=20\text{Hz}$ )	$U_a$ in mV	$f_x$ in Hz ( $f_g=100\text{Hz}$ )	$U_a$ in mV
1000	600	1750	78	558	719
1025	387	1900	62	793	1125
1050	237,5	2000	62	1022	2344
1100	131,3	2250	62	1287	875
1150	100	2500	62	1845	406
1214	75	2750	78	2021	359
1500	40,63	2900	125	2245	344
2000	9,375	2950	234	3040	922
2591	34,37	3000	265	3219	531
2909	59,38	3050	324	3689	234
3000	200,4	3100	125	4037	188
3088	62,3	3250	62	4177	203
3500	25,7	3500	62	4663	219
4000	21,25	3750	62	5097	578
5000	131,3	3900	47	5780	156
6000	28,13	4000	47	6010	140
7000	90,62	4100	47	6460	153
8000	25,2	4250	47	7098	428
9000	75	4500	37	7299	234
--	--	4750	50		
50	93	4900	87		
100	87	5000	125		
200	100	5100	87		
500	156	5200	50		
750	250	5500	37		
900	343	5750	31		
950	612	5900	37		
970	1000	6000	44		
1000	1350	6100	37		
1050	609	6500	31		
1100	328	6900	62		
1200	187	6950	100		
1300	140	7000	181		
1500	94				